

IRANIAN SOCIETY of
CRYSTALLOGRAPHY
and MINERALOGY

Vol. 17, No. 2, Summer 1388/2009

IRANIAN JOURNAL of
CRYSTALLOGRAPHY
and MINERALOGY

Petrography and Geochemistry of the Javaherdasht basalts (east of Guilan Province): The investigation of the role of crystal fractionation and crustal contamination in the magmatic evolution

Sh. Haghnazari¹, S. Malakotian²

1-Department of Geology, Faculty of Science, Islamic Azad University, Lahijan Branch

2- Department of Geology, Islamic Azad University, Damavand Branch

E-mail: Sh_haghnazari@yahoo.com

(Received: 19/8/2008, in revised form: 11/1/2009)

Abstract: The Javaherdasht Basalts show compositional range from olivine basalts to quartz basaltic andesites. Petrographic studies indicate that the differentiation of clinopyroxene and olivine minerals has main role for lithologic variety of the basalts. The corrosion golf, crenated margins and lack of the same colour in the clinopyroxene phenocrysts margins with matrix Pyroxene grains express a nonequilibrium and are petrographic features for crustal contamination of the basalts. The positive correlation $\text{CaO}/\text{Al}_2\text{O}_3$ and Cr with $\text{Mg}^{\#}$ and $\text{CaO}/\text{Al}_2\text{O}_3$ with Sc and the negative correlation Al_2O_3 with $\text{Mg}^{\#}$ are geochemical characters for the differentiation of clinopyroxene and olivine in the magmatic evolution of the area. The high ratios of Ba/Zr and Pb/Nd and low ratio of Ce/Pb and positive correlation of SiO_2 and Rb with $^{87}\text{Sr}/^{86}\text{Sr}$ and negative correlation of Nd-Sr isotopes display the contamination of these basalts with continental crust.

Keywords: *basalts, Geochemistry, Crustal contamination, Nd-Sr isotopes, Javaherdasht, Guilan.*



سنگ‌شناختی و ژئوشیمی بازالت‌های جواهردشت (شرق گیلان): بررسی نقش فرایندهای تفریق بلورین و آلایش پوسته‌ای در سیر تکامل ماقمایی

شهروز حق نظر^۱، سارا ملکوتیان^۲

۱- گروه زمین‌شناسی، دانشکده علوم، دانشگاه آزاد اسلامی واحد لاهیجان

۲- گروه زمین‌شناسی، دانشگاه آزاد اسلامی واحد دماوند

پست الکترونیکی: Sh_haghnaz@ yahoo.com

(دریافت مقاله: ۸۷/۵/۲۹، نسخه نهایی: ۸۷/۱۰/۲۲)

چکیده: بازالت‌های جواهر دشت تنوع ترکیبی بین اولیوین بازالت‌ها تا آندزیت‌های بازالت‌ها کوارتزدار نشان می‌دهند. بنابر بررسی‌های سنگ‌شناختی تفریق کانی‌های کلینوپیروکسن و اولیوین عامل اصلی تنوع سنگ‌شناسی بازالت‌های منطقه است. خوردگی خلیجی و حاشیه‌های دندانه‌دار و نامن رنگ بودن حاشیه فوکریستهای کلینوپیروکسن با دانه‌های پیروکسن خمیره، بیانگر یک حالت عدم تعادل و از شواهد سنگ‌شناختی آلایش پوسته‌ای این بازالت‌هاست. همبستگی‌های مثبت O و CaO/Al_2O_3 و Cr با Mg^+ و CaO/Al_2O_3 و Sc با Al_2O_3 و همبستگی منفی Mg^+ از شاخصه‌های ژئوشیمیایی تفریق کلینوپیروکسن و اولیوین در سیر تکامل ماقمایی سنگ‌های منطقه است. نسبت‌های بالای Pb/Nd ، Ba/Zr ، Pb/Nd و نسبت پایین Ce/Pb و همبستگی مثبت SiO_2 و Rb با $87Sr/86Sr$ و همبستگی منفی ایزوتوپ‌های $Nd-Sr$ ، حکایت از آلایش این بازالت‌ها با پوسته قاره‌ای دارد.

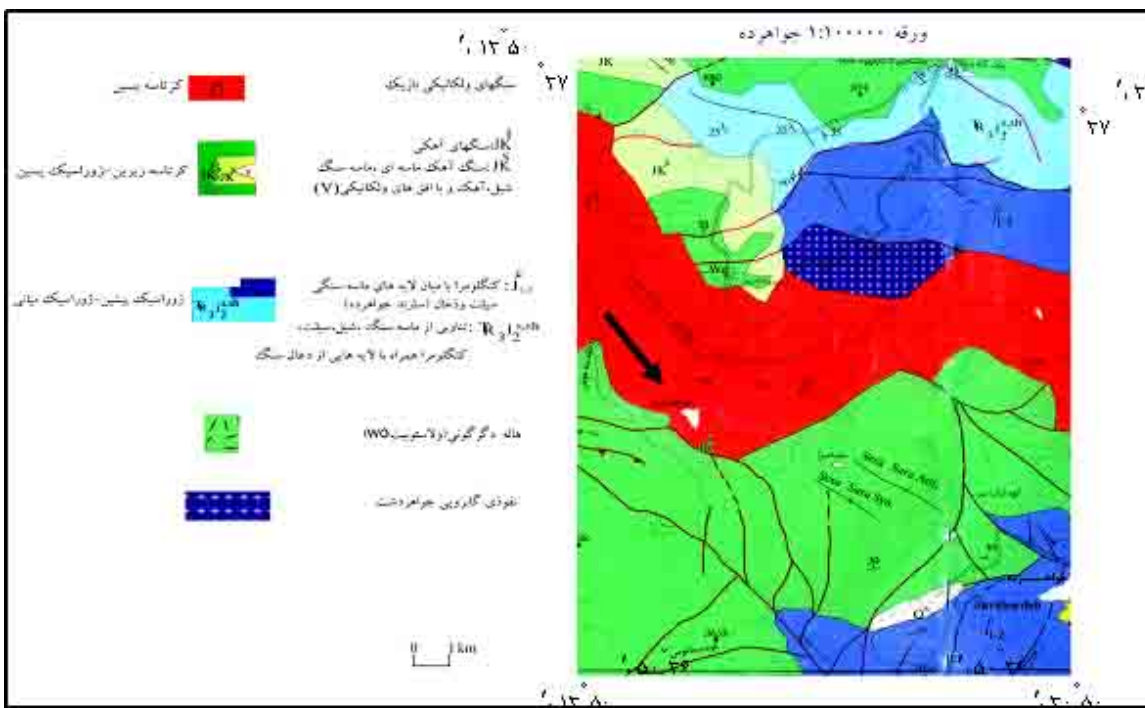
واژه‌های کلیدی: بازالت، ژئوشیمی، آلایش پوسته‌ای، ایزوتوپ‌های $Nd-Sr$ ، جواهردشت، گیلان.

مقدمه

در بررسی‌های سنگ‌شناسی، فرایندهایی چون تبلور بخشی، اختلاط ماقمایی، هضم و آلایش، ماقماهای تشکیل شده در خاستگاه را ضمن صعود تحت تأثیر قرارداده و باعث تغییراتی در ترکیب شیمیایی ماقماهای مادر می‌شوند. این موضوع به درک فرایندهای درگیر در تفریق ماقماهای اولیه تعبیر می‌شود [۱].

در این کار پژوهشی با استفاده از شواهد سنگ‌شناختی، ژئوشیمیایی و ایزوتوپی به بررسی نقش تبلور بخشی و آلایش پوسته‌ای به عنوان دو فرایند درگیر در تفریق ماقمای اولیه بازالت‌های منطقه جواهردشت می‌پردازیم.

منطقه جواهردشت در جنوب خاوری شهرستان رودسر واقع در خاور استان گیلان، در موقعیت $53^{\circ} ۵۳'$ ، $۳۶^{\circ} ۲۲'$ عرض شمالی و ۵۰° طول شرقی قرار گرفته است. گستره مورد بررسی در گوشش شمال خاوری ورقه $1:100000$ جواهرده واقع شده است (شکل ۱). این منطقه در تقسیم بندی‌های زون‌های زمین ساختی ایران در دامنه شمالی بخش باختری زون البرز مرکزی واقع شده است. بیشتر رخمنون‌های سنگی منطقه سنگ‌های تهنشستی و آذرین وابسته به دوران مژوزوئیک هستند. بازالت‌های منطقه جواهردشت بخشی از رخمنون گستردۀ بازالت‌ها را شامل می‌شوند که روی نقشه $1:100000$ جواهرده با سن



شکل ۱ بخشی از گوشه شمال خاوری ورقه ۱:۱۰۰۰۰ جواهرد که گستره مورد بررسی در روی آن واقع شده است.

۴- دلربیت‌ها و اولیوین دلربیت‌ها که بیشتر به صورت دایک دیده می‌شوند.

۵- برش‌های آتشفشاری، توف-برش و بخش‌های جوش خورده.
بافت غالب اولیوین بازالت‌های منطقه پورفیریک با خمیره میکرولیتی و تجمیعی است. فنوکریست غالب موجود در این سنگ‌ها تیتان اوژیت است که دارای ساختار منطقه‌ای هم مرکزند به نحوی که یک حاشیه قهقهه‌ای تا قوهای متمايل به بنشش در آن به خوبی دیده می‌شود (شکل ۲، ۳ و ۴). این حاشیه در نتیجه اضافه شدن Al و Ti به سبب کاهش فشار و عمق تشکیل می‌شود [۲]. چنین ساختار منطقه‌ای شاخص، نشان از آن دارد که هسته چنین پیروکسن‌هایی یا فاقد تیتان-اند و یا از تیتان فقیرند. ولی از مرکز به سمت حاشیه با افزایش دائمی Ti همراه بوده به نحوی که حاشیه قهقهه‌ای تا قوهای متمایل به بنشش حکایت از محتوای بالای Ti دارد [۲]. تغییرات شیمیایی هسته و حاشیه، به عنوان مثال مقادیر بالای TiO_2 در حاشیه نشان از کاهش فشار نرمал طی روند تفریق یک مانگما قلیایی بازالت دارد [۳]، و این منطقه بندی بر پایه واکنش ناقص با باقیمانده مذاب در حال تغییر ترکیب، قابل تفسیر

روش مطالعه

در خلال بررسی‌های صحرائی از بخش‌های مختلف رخنمون-های بازالتی منطقه، جمعاً در حدود ۵۰ نمونه انتخاب و از آن‌ها مقطع نازکی تهیی و مورد بررسی سنگ‌شناختی قرار گرفتند. سپس عناصر اصلی و جزئی ۱۲ نمونه در آزمایشگاه XRF(MAGIX-PRO) سازمان زمین‌شناسی کشور تجزیه شدند (جدوا، ۱).

مقدادیر نسبت‌های ایزوتوپی $^{143}\text{Nd}/^{144}\text{Nd}$ و $^{87}\text{Sr}/^{86}\text{Sr}$ پنج نمونه از بازالت‌های جواهردشت نیز در آزمایشگاه ایزوتوپی دانشگاه کارلتون اوتاوا در کانادا مورد اندازه‌گیری قرار گرفتند (جدو، ۲۰۱۷).

سنگ نگاری

با بررسی‌های میکروسکوپی صورت گرفته برروی نمونه‌های ب داشت شده، مجموعه‌های سنگ، ب شباسام، شدن:

- اولیوین بازالتها
 - اولیوین بازالت‌های آندزیتی
 - آندزیت‌های بازالتی و بخش‌های تفریق یافته‌تر

تعادل هستند (شکل ۴).

است. برخی از تیتان اوژیت‌ها، خوردگی خلیجی و حاشیه دندانه‌دار نشان می‌دهند. که این پدیده‌ها بیانگر یک حالت عدم

جدول ۱ نتایج تجزیه شیمیایی بازالت‌های جواهردشت، مقادیر اکسیدهای اصلی بر حسب درصد وزنی و عناصر فرعی بر حسب PPM

نمونه	JB16	JB25	JB13	JB8	JB10	JB3	JB5	JB22	JB17	JB2	JB4	JB27
SiO ₂	۴۸,۲۹	۴۸,۳۰	۴۸,۷۷	۵۲,۲۸	۴۸,۲۴	۴۹,۰۲	۴۵,۹۸	۴۹,۶۹	۴۸,۲۳	۵۰,۲۲	۴۶,۱۷	۴۸,۶۳
Al ₂ O ₃	۱۵,۴۲	۱۳,۳۴	۱۷,۶۹	۱۵,۳۹	۱۵,۸۷	۱۶,۱۱	۱۲,۵۴	۱۵,۳۴	۱۲,۶۷	۱۴,۱۶	۱۳,۱۳	۱۵,۰۵
Fe ₂ O ₃	۱۱,۹۲	۱۲,۲۱	۱۱,۰۲	۱۱,۲۸	۱۱,۶۹	۱۲,۱۵	۱۲,۲۷	۱۱,۴۹	۱۱,۶۳	۱۱,۴۳	۱۱,۷۸	۱۳,۵۴
MgO	۴,۸۹	۷,۷۳	۴,۶۱	۴,۷۶	۶,۴۴	۳,۷۵	۹,۴۲	۴,۷۹	۸,۹۴	۶,۵۷	۸,۷۶	۴,۲۵
CaO	۸,۹۱	۸,۵۷	۹,۳۷	۶,۴۹	۹,۵۱	۸,۵۶	۱۰,۲۷	۸,۱۳	۹,۳۰	۹,۶۷	۱۱,۰۸	۸,۷۲
Na ₂ O	۲,۲۵	۲,۲۵	۲,۳۵	۲,۳۹	۲,۶۴	۲,۳۳	۱,۷۰	۱,۹۴	۲,۲۰	۲,۱۰	۱,۸۲	۲,۸۴
K ₂ O	۲,۴۳	۱,۸۷	۱,۷۰	۲,۲۹	۰,۸۲	۳,۲۷	۱,۷۰	۳,۲۹	۱,۷۳	۲,۴۷	۱,۵۹	۲,۱۶
MnO	۰,۱۳	۰,۱۳	۰,۱۱	۰,۱۳	۰,۱۲	۰,۱۳	۰,۱۴	۰,۱۴	۰,۱۴	۰,۱۲	۰,۱۳	۰,۱۵
TiO ₂	۱,۱۰	۱,۱۸	۰,۹۷	۰,۹۷	۰,۹۴	۱,۱۷	۰,۷۸	۰,۹۸	۱,۰۳	۰,۹۵	۰,۸۴	۱,۱۹
P ₂ O ₅	۰,۳۵	۰,۲۲	۰,۲۴	۰,۲۲	۰,۲۲	۰,۳۶	۰,۲۸	۰,۲۹	۰,۳۸	۰,۲۱	۰,۲۳	۰,۲۸
Mg [#]	۴۶,۱	۵۵,۸	۴۵,۸	۴۴	۵۱,۷	۳۷,۵	۶۰,۵	۴۴	۶۱,۱	۵۳,۳	۶۰	۳۸,۴
L.O.I.	۳,۳۴	۳,۶۹	۲,۶۸	۳,۳	۳,۰۵	۲,۵۸	۴,۲۳	۲,۴۵	۳,۱۱	۱,۷۷	۳,۹۴	۲,۸۷
Sn	۲,۴	۲,۴	۲,۳	۲,۷	۲,۳	۲,۲	۲,۵	۲,۲	۲	۲,۵	۲,۱	۲,۲
Th	۲,۲	<۲	۳,۹	<۲	۲,۹	<۲	۲,۱	<۲	۴	<۲	<۲	<۲
V	۲۵۹,۲	۲۳۲,۸	۲۲۱,۹	۲۰۵,۸	۲۰۳,۲	۲۴۲,۱	۲۲۶,۳	۲۳۶,۶	۲۰۰,۵	۲۴۵	۲۴۸,۸	۲۶۸,۲
Nb	۱۲,۹	۱۱,۱	۱۰,۲	۱۳,۵	۱۲,۵	۱۳,۵	۷,۶	۱۱,۷	۱۲,۱	۸,۵	۶	۱۲,۳
Ba	۳۵۷,۱	۵۴,۰	۳۹۱,۷	۴۹۹,۳	۲۵۳,۵	۳۷۵,۸	۲۶۹	۳۹۸,۸	۲۹۸,۳	۳۸۸,۴	۲۹۰,۵	۳۸۰,۱
Ce	۴۰,۲	۴۸,۴	۳۷,۵	۵۱	۳۱,۹	۳۵,۹	۳۵,۱	۳۸,۳	۳۳	۳۹,۳	۳۲	۳۵
Hf	۷,۲	۵,۵	۴,۶	۸,۸	۴,۴	<۴	۴,۶	۷,۲	۸,۱	۱۱,۳	۸,۵	۵,۸
Pb	۸,۴	۹,۲	۸,۱	۱۷,۷	۷,۸	۸,۲	۸,۱	۱۰,۱	۷,۸	۷,۸	۸,۲	۸,۶
Nd	۳۷	۴۳,۷	۷,۳	۱۸,۲	۱۵	۳۱,۲	۲۸	۱۱,۴	۲۲,۱	۱۸,۲	۱۲,۶	۳۸,۹
Ni	<۵	۸	<۵	۶,۹	<۵	<۵	۱۲۹,۴	۱۲۹	۱۱۸,۲	۳۵,۵	۱۱۵,۵	<۵
Rb	۳۹,۸	۵۹,۲	۵۱,۱	۷۱,۱	۲۸,۹	۷۱,۴	۳۹,۳	۶۹,۱	۴۸,۷	۵۰,۹	۴۳,۸	۳۹,۳
Sr	۶۰۰,۲	۵۷۹,۲	۸۱۷,۲	۵۹۴,۱	۷۱۵,۹	۶۸۷,۹	۵۰,۹,۷	۶۴۲,۶	۵۱۳,۳	۶۳۹,۵	۵۶۸,۳	۶۱۲,۱
Y	۳۱	۳۱,۷	۲۹,۵	۳۷,۹	۲۴,۷	۳۴,۳	۲۷	۳۴,۲	۳۱,۴	۳۰,۲	۲۷,۶	۳۰,۳
Cr	۲۸,۸	۹۲,۳	۱۵,۷	<۱۰	۴۱,۵	<۱۰	۳۰,۷,۸	۴۶,۹	۲۲۱,۳	۱۴۱	۳۲۸,۷	۱۹,۵
Zr	۱۴۰,۹	۱۳۱,۸	۱۵۳,۶	۱۵۸,۳	۱۵۱,۸	۱۵۴,۳	۱۱۴	۱۵۳,۳	۱۳۵,۶	۱۲۷,۴	۱۱۷,۵	۱۴۸,۱
Tb	۱,۱	۱,۱	۱,۱	۱,۱	۱,۱	۱,۱	۱,۱	۱,۱	۱,۱	۱,۱	۱,۱	۱,۲
Ta	<۵	<۵	<۵	<۵	<۵	<۵	<۵	<۵	<۵	<۵	<۵	<۵
Eu	<۳	<۳	<۳	<۳	<۳	<۳	<۳	<۳	<۳	<۳	<۳	<۳
Sc	۲۷,۵	۳۰,۵	۲۶,۵	۲۵,۱	۲۹,۳	۲۷,۶	۲۹,۱	۲۷	۲۶,۵	۳۱,۲	۳۲,۳	۲۶,۶
Cu	۱۲۳,۴	۸۳,۱	۱۱۲,۵	۵۴,۹	۴۷,۶	۱۳۴,۸×	۱۲۰,۸	۱۲۸,۸	۹۷,۱	۱۴۱,۱×	۱۲۴,۹	۱۴۸,۷×
Co	۳۷,۷	۴۱,۱	۳۵	۳۰,۴	۳۸	۳۸,۹	۴۲,۲	۳۲,۹	۳۷	۳۸	۳۹,۷	۴۳,۹
Zn	۸۶,۱	۱۱۷,۶	۹۷,۹	۲۴۷,۵×	۸-	۹۹,۱	۸۸,۱	۱۰۴	۹۴,۵	۹۷,۹	۸۳,۵	۱۱۴,۸
Cs	<۵	<۵	<۵	<۵	<۵	<۵	<۵	<۵	<۵	<۵	<۵	<۵
Ga	۱۹,۹	۱۹,۸	۲۱,۹	۲۳	۲۰,۸	۲۱,۱	۱۹,۲	۲۱,۶	۲۱,۹	۲۰,۷	۱۸,۳	۱۹,۹
Mo	<۵	<۵	<۵	<۵	<۵	<۵	<۵	<۵	<۵	<۵	<۵	<۵

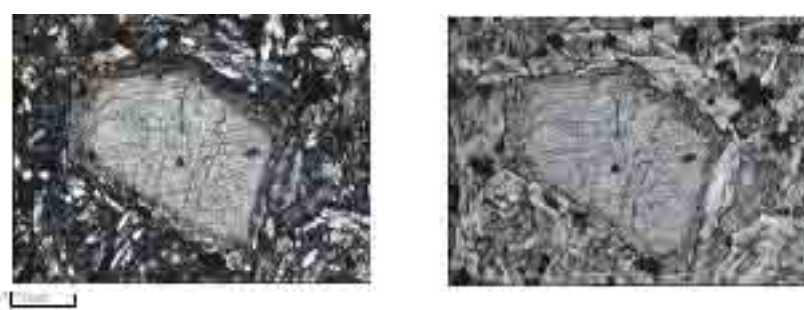
^x: بیشتر از بالاترین حد قابل اندازه‌گیری

جدول ۲ نتایج تجزیه ایزوتوپی Nd و Sr بازالت‌های جواهردشت.

نمونه	$^{87}\text{Sr}/^{86}\text{Sr}$	۲سیگما	$^{143}\text{Nd}/^{144}\text{Nd}$	۲سیگما
J-B-2	۰,۷۰۴۴۸۲	۰,۰۰۰۰۱۰	۰,۵۱۲۶۶۰	۰,۰۰۰۰۹
J-B-3	۰,۷۰۴۶۴۸	۰,۰۰۰۰۱۰	۰,۵۱۲۶۹۲	۰,۰۰۰۰۹
J-B-4	۰,۷۰۴۲۲۵	۰,۰۰۰۰۱۰	۰,۵۱۲۷۲۷	۰,۰۰۰۰۸
J-B-8	۰,۷۰۵۳۸۷	۰,۰۰۰۰۱۱	۰,۵۱۲۵۱۷	۰,۰۰۰۰۸
J-B-25	۰,۷۰۴۸۵۶	۰,۰۰۰۰۱۲	۰,۵۱۲۶۸۸	۰,۰۰۰۰۸
NBS987	۰,۷۱۰۲۵۴	۰,۰۰۰۰۱۱		
La Jolla			۰,۵۱۱۸۴۸	۰,۰۰۰۰۶



شکل ۲ نمایی از بلور اوزیت با ساختار منطقه‌ای (با آنالیزور).



شکل ۳ نمایی از بلور اوزیت با حاشیه غنی از Ti (سمت راست بدون آنالیزور - سمت چپ با آنالیزور).



شکل ۴ نمایی از خوردگی خلیجی بلور اوزیت با حاشیه‌غنى از Ti (با آنالیزور).

است (شکل ۵). بزرگترین زاویه خاموشی آنها یعنی زاویه بین α و محور بلورشناسی a معادل 32° بود که در نتیجه ترکیب شیمیایی این بلورها با توجه به بزرگترین زاویه خاموشی اندازه گیری شده با پلاتین فدوروف، لابرادوریت با درصد آنورتیت ۶۰ تعیین شد. پلازیوکلازهای موجود در سنگ تا حدی سوسوریتی شده به نحوی که پلازیوکلازها به اپیدوت، کلریت و کلسیت تجزیه شده‌اند.

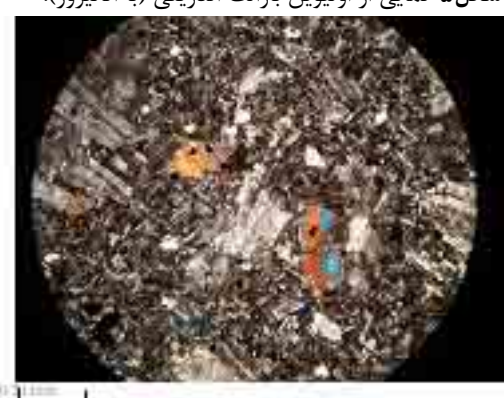
بخش تکامل یافته بعدی در سنگ‌های منطقه، آندزیت‌های بازالتی هستند. اختلاف چشمگیر این سنگ‌ها با نمونه‌های قبلی، در نسبت تعداد فنوکریست‌های پلازیوکلاز، پیروکسن و اولیوین است، به این دلیل که در این سنگ‌ها درصد فنوکریست‌های پلازیوکلاز نسبت به کلینوپیروکسن افزایش چشمگیری یافته و نیز مقدار اولیوین به شدت کاهش نشان می‌دهد. این سنگ‌ها ویژگی یک مagma‌ای بازالتی تکامل و تفریق یافته را نشان می‌دهد به نحوی که تفریق در بعضی از آنها به حدی پیش رفته که منجر به تشکیل کوارتز در خمیره سنگ شده است (شکل ۶). بعضی از پلازیوکلازها، رسی شدن به صورت منطقه‌ای را نشان می‌دهند به نحوی که حاشیه و مرکز پلازیوکلازها سالم مانده است. با توجه به اینکه در دنباله هوازدگی، پلازیوکلازهای کلسیم‌دار سریع تراز سدیم دار، هوازده می‌شوند، به نظر می‌رسد که این رسی شدن منطقه‌ای، بیانگر تغییرات ترکیب شیمیایی در عرض بلورهای پلازیوکلاز بوده و در نتیجه احتمالاً پلازیوکلازها دارای منطقه بندی نوسانی هستند. به نحوی که هسته‌ها و حاشیه‌ها می‌بایستی دارای مقادیر سدیم بالاتری نسبت به بخش‌های رسی شده باشند (شکل ۷).

اولیوین‌ها نیز پس از پیروکسن‌ها فراوانند، ولی کاملاً به سرپانتین و کلریت تجزیه شده و بیشتر آن‌ها دارای حاشیه واکنشی هستند. برخی از اولیوین‌ها به صورت پویی کلیتیکی درون پیروکسن‌ها قرار دارند که بیانگر تقدم تبلور اولیوین‌ها نسبت به پیروکسن‌ها هستند. خمیره این سنگ‌ها بیشتر از ریز بلورهای پلازیوکلاز و دانه‌های کوچک پیروکسن تشکیل شده است که در مقادیر کم اولیوین و کانی‌های کدر نیز در فضای بین آن‌ها دیده می‌شوند. اوزیت‌های موجود در سنگ به صورت زنجیره پورفیری تقسیم شده‌اند و پیروکسن‌های خمیره را می‌سازند به نحوی که پیروکسن‌ها تدریج از فنوکریست‌های درشت دانه به خمیره ریز دانه تبدیل می‌شوند. با توجه به حاشیه غنى Ti از فنوکریست‌های تیتان اوزیت بايد انتظار داشت که کلینوپیروکسن‌های خمیره سرشار از Ti بوده و دارای رنگ قهوه‌ای متمایل به بنفش باشند، ولی بررسی سنگ‌شناختی خلاف آن را نشان می‌دهد. به احتمال زیاد آلایش پوسته‌ای سبب افت مقدار TiO_2 در کل سنگ شده و در نتیجه منجر به تبلور پیروکسن‌های فقیر از Ti در خمیره شده است. دلیل سنگ‌شناختی آن ناهمزنگ بودن پیروکسن‌های خمیره با حاشیه فنوکریست‌های پیروکسن است. بررسی‌های ژئوشیمیایی از جمله حضور کم TiO_2 (کمتر از ۱٪) در این سنگ‌ها این موضوع را مورد تأیید قرار می‌دهد.

بخش تکامل یافته بعدی در سنگ‌های منطقه، اولیوین بازالت‌های آندزیتی هستند که از نظر سنگ‌شناختی مشابه اولیوین بازالت‌های منطقه بوده و اختلاف آن حضور درشت بلورهای پلازیوکلاز در این سنگ‌هاست که پس از فنوکریست‌های کلینوپیروکسن فراوان‌ترین فنوکریست موجود در سنگ



شکل ۵ نمایی از اولیوین بازالت آندزیتی (با آنالیزور).



شکل ۶ نمایی از آندزیت بازالتی کوارتزدار (با آنالیزور).



شکل ۷ نمایی از بلور دگرسان شده پلازیوکلاز با رسیدن منطقه‌ای در سنگ آندزیت بازالتی (سمت راست با آنالیزور - سمت چپ بدون آنالیزور).

هستند. با ادامه تکامل در مagma، به تدریج پلازیوکلازها به صورت فنوکریست در سنگ‌ها ظاهر شده است که در سنگ‌های اولیوین بازالت‌های آندزیتی نمود پیدا می‌کنند. با پیشرفت تفریق و تکامل magma، درصد فنوکریست‌های پلازیوکلاز نسبت به پیروکسن و اولیوین افزایش چشم گیری می‌یابد، ضمن اینکه

بررسی سنگ‌شناختی روی سنگ‌های بازالتی منطقه مورد مطالعه حاکی از آنست که پیش از رسیدن magma مادر آنها به سطح زمین، فرآیند تفریق در آنها صورت پذیرفته است. magma اولیوین بازالت‌ها با فنوکریست‌های پیروکسن و اولیوین، کم تفریق یافته‌ترین magma تشکیل دهنده سنگ‌های بازالتی

خمیره نیز فاقد دانه‌های پیروکسن می‌گردد. تفریق در ماقمای این سنگ‌ها به حدی پیشرفت می‌کند که منجر به پیدایش کوارتز در خمیره سنگ و بین بلورهای پلازیوکلаз خمیره می‌شود. شیمی سنگ‌های مورد بررسی که به آن اشاره خواهد شد، به خوبی روند این تفریق و تکامل را تأیید می‌کند.

رده بندی ژئوشیمیایی سنگ‌های منطقه با استناد به نتایج تجزیه عناصر اصلی و جزئی نمونه‌های بازالتی، می‌پردازیم به بررسی ویژگی‌های ژئوشیمیایی بازالت‌های منطقه.

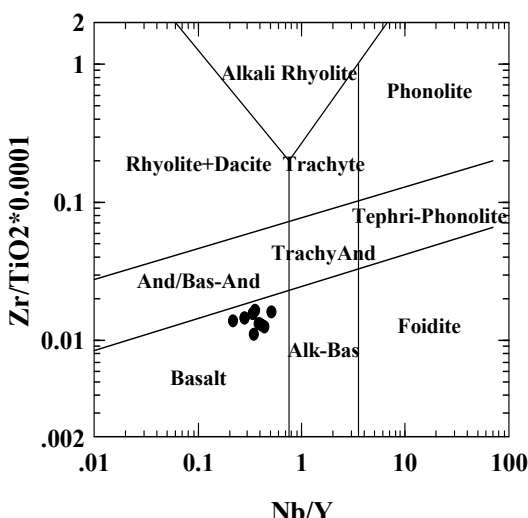
از معیارهای ژئوشیمیایی؛ مثل مقادیر TiO_2 , قلیایی‌ها، آهن، منیزیم و غیره، غالباً برای تشخیص و نام گذاری از سنگ‌های آذرین استفاده می‌شود [۴].

نخست به منظور رده بندی و نام گذاری نمونه‌های مورد بررسی، موقعیت آن‌ها روی نمودار Zr/TiO_2^* نسبت به Y/Nb (شکل ۸) آورده شده است [۵]. همه نمونه‌ها در گستره بازالت قرار می‌گیرند. با توجه به معیار پیرس [۶] که مقدار $Y/Nb = 0.7$ را به عنوان شاخص جدایی سری قلیایی از نیمه قلیایی در نظر گرفته، همه نمونه‌ها در گستره نیمه قلیایی واقع شده‌اند. در نمودار کل قلیایی نسبت به سیلیس [۷] برخی از نمونه‌ها در مرز بین نیمه قلیایی و قلیایی و برخی دیگر در گستره قلیایی واقع شده‌اند (شکل ۹). ولی در نمودار K_2O

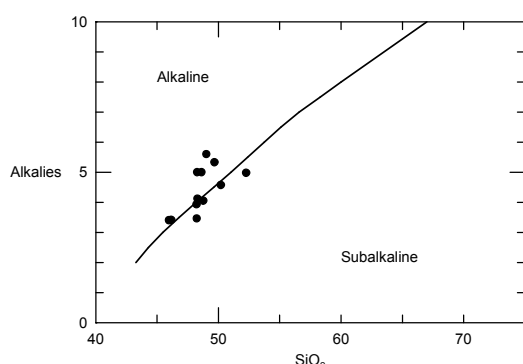
$Mg^{#}$ ۶۱/۱ متغیر است. به عقیده کلمن [۱۰] چنانچه عدد $Mg^{#}$ کمتر از ۵۰ باشد بیانگر تحول یافته‌گی ماقمای مادر است و اگر بین ۵۰ تا ۶۰ باشد ماقمای مادر منیزیم بالا و اگر بیش از ۶۰ باشد ماقمای مادر، اولیه خوانده می‌شود.

نسبت به SiO_2 [۸] نمونه‌ها بیشتر در گستره قلیایی قرار گرفته‌اند (شکل ۱۰).

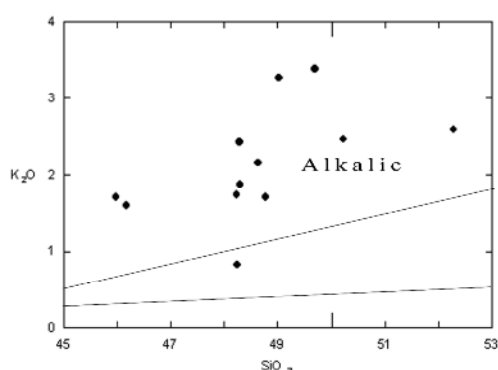
در نمودار $Mg^{#} / SiO_2 / Al_2O_3$ [۹] سه نمونه در گستره ترکیب بازالت‌های اولیه و بقیه از روند تفریق تولئیتی پیروی می‌کنند (شکل ۱۱). عدد $Mg^{#}$ در نمونه‌ها بین ۷/۳۸ تا



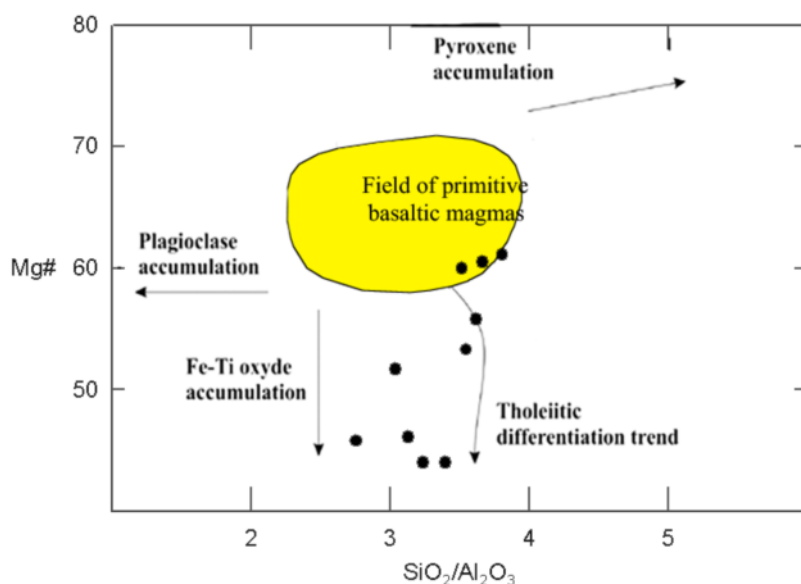
شکل ۸ موقعیت نمونه‌ها در نمودار وینچستر و فلورین [۵].



شکل ۹ موقعیت نمونه‌ها در نمودار مجموع قلیایی نسبت به سیلیس [۷].



شکل ۱۰ موقعیت نمونه‌ها در نمودار K_2O / SiO_2 نسبت به K_2O [۸].

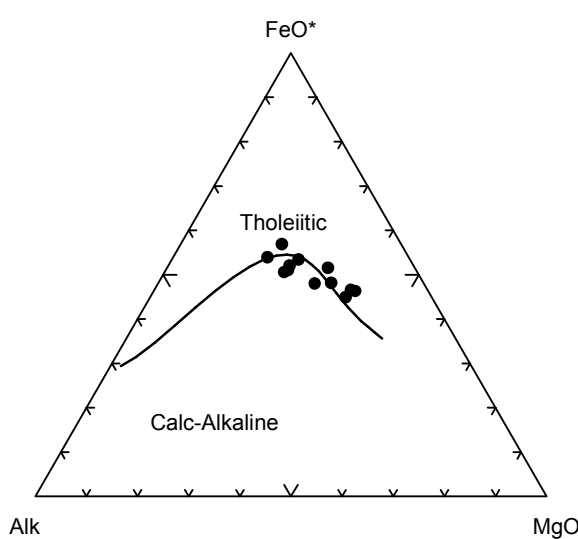


شکل ۱۱ موقعیت نمونه‌ها در نمودار $\text{SiO}_2/\text{Al}_2\text{O}_3$ نسبت به $\text{Mg}^{\#}$ [۹]

آهن را که از مشخصات بارز روند تولائیتی است، نشان می‌دهند [۱]. این موضوع بخوبی در نمودار AFM در مورد بازالت‌های منطقه کاملاً مشخص است (شکل ۱۲).

چنانکه ملاحظه می‌شود بازالت‌های جواهردشت در یک نمودار روی میدان قلیایی و در نمودار دیگر در میدان نیمه قلیایی و تولائیتی قرار می‌گیرند. در نتیجه بنا به تعریف ویلسون [۱] این بازالت‌ها جزء بازالت‌های حد واسط یا بازالت‌های انتقالی محسوب می‌شوند.

سه نمونه با عدد $\text{Mg}^{\#}$ بیش از ۶۰، سه نمونه بین ۵۰ تا ۶۰ و بقیه نمونه‌ها کمتر از ۵۰ است. به طوریکه میانگین عدد منیزیم نمونه‌ها ۵۰ بوده، که این عدد منیزیم مانند بازالت‌های داخل صفحه قاره‌ای یعنی بازالت‌های طغیانی قاره‌ای و ریفتی (به عنوان مثال ریوگراند) بوده که دارای اعداد منیزیم پایین و متوسط هستند و مشخصات مذاب‌های گوشتهای اولیه را ندارند [۱۱]. در مناطق ریفتی در سری‌های انتقالی (مثل سری انتقالی مرکز بونیا در آتیوبی)، در مراحل اولیه تفریق به سبب عدم تبلور اکسیدهای Fe-Ti به گونه‌ای مشخص غنی شدگی از



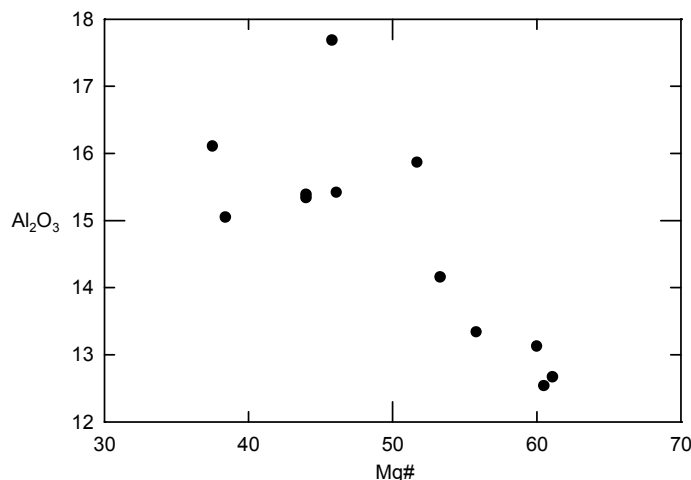
شکل ۱۲ موقعیت نمونه‌ها در نمودار AFM

با توجه به اینکه مجموعه کانی‌های تفریق نیافته معمولاً به وسیله فنوکریست‌های موجود در سنگ مشخص می‌شود [۱۴]، حضور فنوکریست‌های پلازیوکلаз در نمونه‌های تکامل یافته که در بررسی‌های سنگ‌شناختی نیز به آن اشاره شد، افزایش Al_2O_3 را با کاهش $\text{Mg}^{\#}$ توجیه می‌کند، زیرا تغییرات Al_2O_3 نسبت به $\text{Mg}^{\#}$ بیانگر فراوانی م DAL پلازیوکلاز موجود در سنگ است [۱۵].

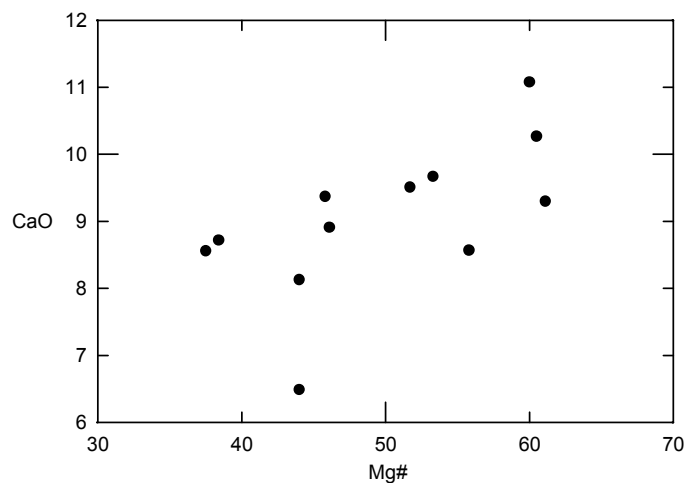
نمودار $\text{CaO}/\text{Al}_2\text{O}_3$ بر حسب $\text{Mg}^{\#}$ (شکل ۱۵) نقش کانی‌های پیروکسن، اولیوین و پلازیوکلاز را در روند تفریق نشان می‌دهد.

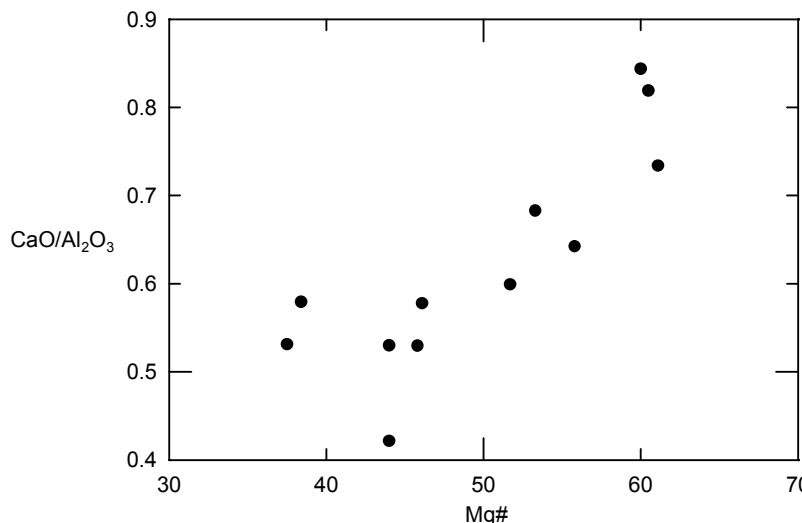
شاخصه‌های ژئوشیمیایی تفریق بلورین در بازالت‌های جواهردشت

روند تغییرات Al_2O_3 و CaO بر حسب $\text{Mg}^{\#}$ در شکل‌های ۱۳ و ۱۴ نشان داده شده‌اند. کاهش Al_2O_3 و افزایش CaO همگام با کاهش $\text{Mg}^{\#}$ و افزایش تفریق نیازمند تشکیل یک کانی غنی از MgO و فقیر از Al_2O_3 به همراه یک فاز غنی از CaO (اولیوین) دارد که نقش کلینوپیروکسن غنی از Ca و فقیر از Al را در کنترل روند ترکیبی مذاب بلور نشان می‌دهد [۱۲]. همخوانی مثبت CaO با $\text{Mg}^{\#}$ نشان دهنده این است که مذاب باقیمانده پی در پی از $\text{Mg}^{\#}$ و Ca تهی شده است [۱۳]. بر عکس، افزایش Al_2O_3 همراه با کاهش $\text{Mg}^{\#}$ و افزایش تفریق بیانگر این است که در مراحل اولیه با جدایش کانی‌های فرومیزین بر میزان نسبی Al_2O_3 در مagma افزوده شده است.



شکل ۱۳ موقعیت نمونه‌ها در نمودار تغییرات Al_2O_3 نسبت به $\text{Mg}^{\#}$



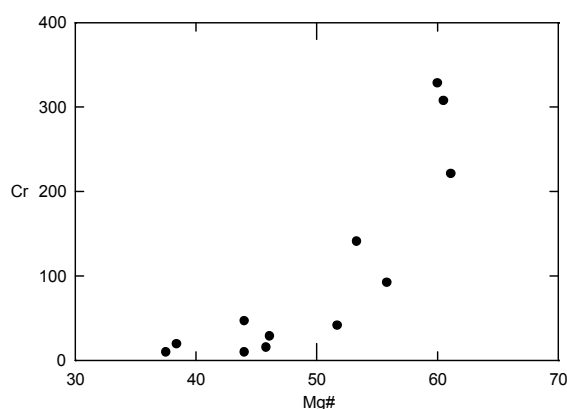
شکل ۱۴ موقعیت نمونه‌ها در نمودار تغییرات CaO نسبت به $\text{Mg}^{\#}$ شکل ۱۵ موقعیت نمونه‌ها در دیاگرام $\text{CaO}/\text{Al}_2\text{O}_3$ دربرابر $\text{Mg}^{\#}$

تفريق نشان می‌دهد. تفکيک کلينوپيروكسن نوع اوژيت، کاهش مقدار کروم همگام با کاهش $\text{Mg}^{\#}$ به عنوان ضریب تفريقي را توضیح می‌دهد [۲].

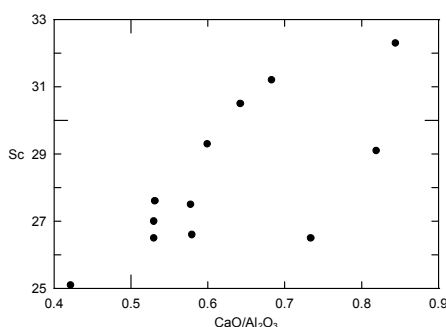
شکل ۱۷ تغیيرات Sc نسبت به $\text{CaO}/\text{Al}_2\text{O}_3$ را نشان می‌دهد. یک عنصر به شدت ناسازگار با پلازیوکلاز و اوليوبین و سازگار با پيروكسن است. با کاهش نسبت $\text{CaO}/\text{Al}_2\text{O}_3$ که در سنگ‌های منطقه همگام با کاهش $\text{Mg}^{\#}$ و افزایش تفريقي صورت می‌گيرد، مقدار Sc نيز به شدت افت می‌کند. كه بيانگر تفکيک کلينوپيروكسن از مذاب در روند تفريقي بازالت‌های منطقه است. پراكندگي در نمودار به علت انباشت فنوکريستي پيروكسن به علت بافت پورفيريك و تجمعي حاصل شده است. بنابراین بررسی‌های ژئوشيمیایي نشان می‌دهد که تفريقي کلينوپيروكسن و نيز اوليوبين از مذاب نقش مؤثری در تنوع سنگ‌های منطقه داشته است.

چنانکه ملاحظه می‌شود نسبت $\text{CaO}/\text{Al}_2\text{O}_3$ با کاهش عدد منيزيم و افزایش تفريقي کاهش می‌باید. تفريقي اوليوبين، نسبت $\text{CaO}/\text{Al}_2\text{O}_3$ را تغيير نمي‌دهد و فقط مقدار عدد منيزيم را با مصرف MgO در ساختار خود و جدایش آن از مذاب، کاهش می‌دهد. از طرفی نسبت $\text{CaO}/\text{Al}_2\text{O}_3$ در پلازیوکلازهای گستره بازالتی کم و در حدود ۰,۵۵ است. لذا با تفريقي پلازیوکلاز مقدار $\text{CaO}/\text{Al}_2\text{O}_3$ همگام با کاهش $\text{Mg}^{\#}$ افزایش می‌باید [۱۶]. ولی کاهش نسبت $\text{CaO}/\text{Al}_2\text{O}_3$ همگام با کاهش $\text{Mg}^{\#}$ نيازمند تفريقي کلينوپيروكسن غني از Ca به عنوان يكى از اجزاي مهم تفريقي در کنار اوليوبين است [۱۷]. لازم به يادآوري است که نسبت $\text{CaO}/\text{Al}_2\text{O}_3$ در MORB همراه با کاهش $\text{Mg}^{\#}$ و افزایش تفريقي افزایش می‌باید که اين پدیده به تفريقي پلازیوکلاز و اوليوبين ازماگما بستگي دارد [۱۸, ۱۶].

شکل ۱۶ تغیيرات Cr را نسبت به $\text{Mg}^{\#}$ به عنوان ضریب



شکل ۱۶ موقعیت نمونه‌ها در نمودار تغییرات Cr نسبت به $Mg^{\#}$

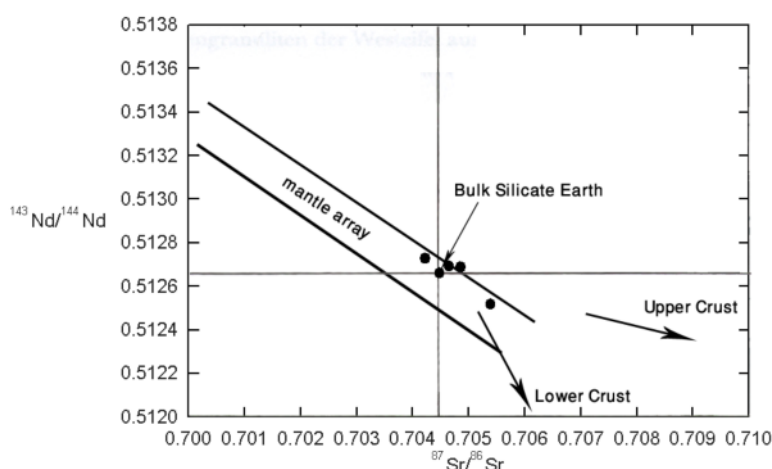
شکل ۱۷ موقعیت نمونه‌ها در نمودار تغییرات Sc نسبت به $\text{CaO}/\text{Al}_2\text{O}_3$

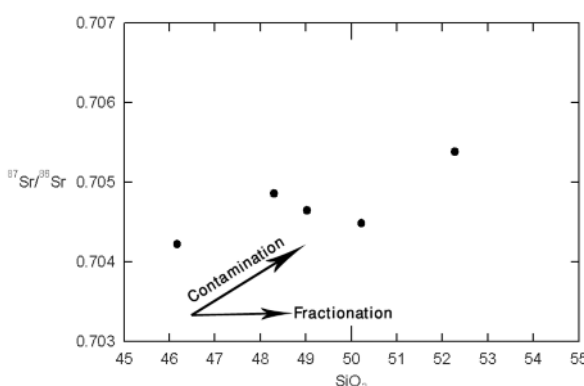
قاره‌ای ۰,۶۳ است [۲۱]. در نتیجه این نسبت بالای Pb/Nd نشانهٔ دخالت پوسته در تکامل ماقمایی سنگ‌های منطقه است. نسبت‌های بالای Ba/Zr به عنوان یک شناسه برای آلودگی پوسته‌ای استفاده می‌شود. به نحوی که برای بازالت‌های قاره‌ای همراه با آلایش پوسته‌ای، این میزان بین ۲ تا ۵ تغییر می‌کند [۲۴، ۲۵]. نسبت Ba/Zr در بازالت‌های جواهردشت به ۴ نیز می‌رسد که به خوبی آنستگی سنگ‌ها با پوسته قاره‌ای را نشان می‌دهد. در نمودار همبستگی ایزوتوبی $\text{Nd}-\text{Sr}$ (شکل ۱۸) نمونه‌ها در نزدیکی ربع پوسته‌ای قرار داشته و روند پوسته تحتانی را نشان می‌دهند. همبستگی منفی قرارگیری ایزوتوب‌های $\text{Nd}-\text{Sr}$ معمولاً به هضم رخساره گرانولیتی گنایس‌ها نسبت داده می‌شود [۲۶]. در نمودار تغییرات ${}^{87}\text{Sr}/{}^{86}\text{Sr}$ نسبت به SiO_2 و Rb ، شکل‌های ۱۹ و ۲۰، بازالت‌های جواهردشت به خوبی روند آلایش پوسته‌ای را تعقیب می‌کنند. همبستگی مثبت نسبت‌های ایزوتوبی ${}^{87}\text{Sr}/{}^{86}\text{Sr}$ با SiO_2 و Rb بازتابی از فرایند آلایش پوسته‌ای همراه با تفریق (فرایند AFC) است [۲۷].

شاخصه‌های ژئوشیمیایی و ایزوتوبی آلایش پوسته‌ای در بازالت‌های جواهردشت

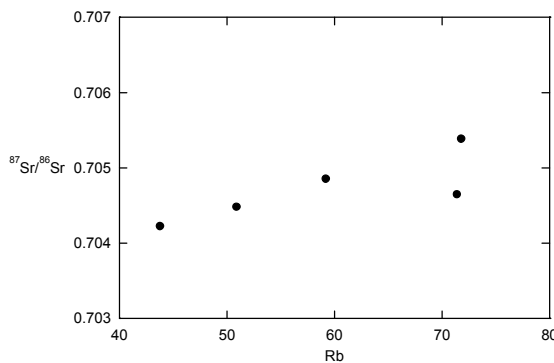
بررسی عالم ژئوشیمیایی و ایزوتوبی سنگ‌های هر منطقه، اجازه شناسایی فرایندهای ماقمایی همچون هضم و آلایش را می‌دهد. در سیستم‌های بازالتی از نسبت‌های عناصر کمیاب ناسازگار و نیز نسبت‌های ایزوتوبی به طور گسترده برای تعیین منابع گوشه‌های و پوسته‌ای استفاده می‌شود [۱۹].

نسبت Ce/Pb در بازالت‌های اقیانوسی (MORB+OIB) نسبتاً بالا و تقریباً یکنواخت است و مقدار آن در حدود 25 ± 5 است [۲۰]. در حالیکه این نسبت در بازالت‌های جواهردشت در حدود ۴/۱ است. این محتوای پایین Ce/Pb نشانهٔ درگیر بودن ماقماً با مواد پوسته‌ای است. مقدار میانگین Ce/Pb در پوسته قاره‌ای ۳/۳ است [۲۱]. یکی از شاخصه مهم هضم و آلایش پوسته‌ای نسبت Pb/Nd است [۲۲]. این نسبت در بازالت‌های جواهردشت در حدود ۰,۳۸، در حالیکه در N-MORB در حدود ۰,۰۴، در P-MORB در حدود ۰,۰۶ و در OIB در حدود ۰,۰۸ است [۲۳]. میانگین Pb/Nd در پوسته

شکل ۱۸ موقعیت بازالت‌های جواهردشت در نمودار همبستگی ایزوتوبی $\text{Nd}-\text{Sr}$. روند پوسته فوقانی و تحتانی از یونگ [۲] اقتباس شده است.



شکل ۱۹ نمودار تغییرات $\frac{^{87}\text{Sr}}{^{86}\text{Sr}}$ در برابر SiO_2 برای بازالت‌های جواهردشت. روندهای تفریق بلورین و آلایش پوسته‌ای از ویلسون و کایزر [۱، ۲۷] اقتباس شده است.



شکل ۲۰ نمودار تغییرات $\frac{^{87}\text{Sr}}{^{86}\text{Sr}}$ در برابر Rb برای بازالت‌های جواهردشت.

های خمیره با حاشیه فنوکریستهای کلینوپیروکسن از شواهد سنگ‌شناختی آلایش پوسته‌ای در این بازالت‌هاست.

شاخصه‌های ژئوشیمیایی و ایزوتوپی چون نسبت‌های بالای Pb/Nd ، Ba/Zr و Ce/Pb و همبستگی مثبت $^{87}\text{Sr}/^{86}\text{Sr}$ و Rb با SiO_2 ایزوتوپ‌های Sr-Nd بر آلایش پوسته‌ای این بازالت‌ها دلالت دارد.

مراجع

[1] Wilson M., "Igneous petrogenesis-A global tectonic approach", Unwin Hyman London, (1989)466s.

[2] Jung C., "Geochemische und Isotopengeochemische Untersuchungen an tertiaeren Vulkaniten der Hocheifel-ein Beitrag zur Identifizierung der Mantelquellen von Riftbezogenen Vulkaniten", Dissertation zur Erlangung des doktorgrades Naturwissenschaften, vorgelegt dem fachbereich Geowissenschaften, vorgelegt dem Philipps-Universitaet Marburg. (2003)

[3] Duda A., Schmincke H.-U., "Polybaric differentiation of Alkali basaltic magmas: evidence

برداشت
بازالت‌های جواهردشت یک تنوع ترکیبی بین اولیوین بازالت‌ها، اولیوین بازالت‌های آندزیتی، آندزیت‌های بازالتی تا آندزیت‌های بازالتی کوارتزدار را نشان می‌دهند. این تنوع ترکیبی در نتیجه تفریق کانی‌های کلینوپیروکسن و اولیوین در مagma مادر این سنگ‌ها حاصل شده است به نحوی که از سمت اولیوین بازالت‌ها به آندزیت‌های بازالتی درصد فنوکریستهای پیروکسن و اولیوین به شدت کاهش یافته و درصد فنوکریستهای پلازیوکلаз افزایش چشمگیری را نشان می‌دهد. این بازالت‌ها با توجه به قرارگیری در بعضی از نمودارها روی میدان قلیایی و در بعضی دیگر روی میدان نیمه قلیایی و تولکیتی، در گروه بازالت‌های انتقالی محاسب می‌شوند. شاخصه‌های ژئوشیمیایی چون همبستگی منفی Al_2O_3 با عدد منیزیم و مثبت CaO و $\text{CaO}/\text{Al}_2\text{O}_3$ با $\text{Mg}^{\#}$ و Cr با $\text{CaO}/\text{Al}_2\text{O}_3$ مثبت Sc ، دلالت بر تفریق کلینوپیروکسن و اولیوین به عنوان کانی‌های شاخص در تکامل‌های magma سنگ‌های منطقه دارد. شاخصه‌هایی چون خوردگی خلیجی و حاشیه‌های دندانه-دار در فنوکریستهای پیروکسن و ناهمزنگ بودن پیروکسن-

- [17] Class C., Altherr R., Volker F., Eberz G., McCulloch M.T., "Geochemistry of Pliocene to Quarternary alkali basalts from the Huri Hills, Nothern Kenya", Chemical Geology 113(1994)1-22
- [18] Perfit M.R., Gust D.A., Bence A.E., Arculus R.J., Taylor S.R., "Chemical characteristics of island-arc basalts: implications for mantle sources", Chem. Geol. 30 (1980)227-256
- [19] Weaver B.L., "Trace element evidence for origin of ocean -island basalts", Geology. 19(1991)123-126
- [20] Hofmann A.W., Jochum K.P., Seufert M., White W.M., "Nb and Pb in Oceanic basalts, new constraints on mantle evolution", Earth planet .Sci.Lett. 90(1986)297-314
- [21] Rudnick R.L., Fountain D.M., "Nature and composition of the continental crust: A lower crustal perspective", Rev.Geophys.33 (1995) 267-309
- [22] Krienitz M.-S, Hasse K.M, Mezger K., Eckardt V., Sheikh-Mashail, M.A., "Magmagenesis and crustal contamination of continental intraplate lavas in northwestern Syria", Contrib .Mineral.Petrol.151(2006)698-716
- [23] Sun S.S., McDonough W.f., "Magmatism in the oceanic basalts", [A.D. Saunders & M.J.Norry, Herausgeber], Geol. Soc. Special Publ. 42 (1989) 313 - 345
- [24] Fitton-T.G., Hardarson B.S., Ellam K.M., Rogers G., "Sr-, Nd, and Pb-isotopic composition of volcanic rocks from the Southeast Greenland Margin at 63°N: temporal variation in crustal contamination during continental breakup", In saunders, A.D., Larsen, .H.C., and Wise, s.H., (Eds) Proc.ODP.Sci.Results.152 (1998) 351-357
- [25] Larsen H.C, Saunders A.D., "Tectonism and volcanism at the Southeast Greenland rifted margin: a record of plume impact and later continental rupture", in: Saunders, A.D., Larsen, H.C., and Wise, S.H., (ed) Proc.ODP.Sci. Results. 152(1998)503-533
- [26] Bernstein S., Kelemen P.B., Tegner C., Kurz M.D., Blusztajn J., Kent Brooks C., "Post-breakup basaltic magmatism along the East Greenland Tertiary rifted margin", Earth and Planetary Science. Letters. 160(1998)845-862
- [27] Kaiser C., "Multi-component evolution, age and plat-tectonic setting of high-Mg Lamprophyric dikes and small gabbroic intrusions on Isla Margarita (Venezuela)", Dissertation Zur Erlangung des Grades eines Doktors der Naturwissenschaften der Fakultaet fur Geowissenschaften an der Ruhr-universitat Bochum.(1997) 174pp.
- from green-core Clinopyroxenes (Eifel, FRG)", Contrib. Mineral. Petrol.91 (1985)340-353
- [4] Miyashiro A., "Nature of alkalic volcanic rock series", Contrib.Mineral.Petrol.66 (1978)91-104
- [5] Winchester J.A., Floyd P.A., "Geochemical discrimination of different magma series and their differentiation product using immobile elements", Chemical Geology.20 (1977)325-343
- [6] Pearce J.A., "A users guide to basalt discrimination diagrams: in trace element geochemistry of volcanic Rocks: applications for massive sulfide exploration", (ed) D.A. Wyman; Geological association of Canada.short course notes.12 (1996)79-113
- [7] Rickwood P.C., "Boundary lines within petrologic diagrams which use oxide of major and minor elements", Lithos.22 (1989)225-240
- [8] Middlemost E.A.K., "The Basalt Clan", Earth Sci.Rev.11 (1975)337-364
- [9] Kempton P.D., Downes H., Sharkov E.V., Vetrin V.R., Ionov D.A., Carswell D.A., Beard A., "Petrology and Geochemistry of xenoliths from the Northern Baltic shield:evidence for Partial melting and metasomatism in the Lower Crust beneath and Archean terrane", Lithos.36 (1995)157-184
- [10] Kelemen P.B., Hanghoj K., Greene A.R., "One view of the geochemistry of subduction-related magmatic arcs.With an emphasis on primitive Andesite and lower crust", Treatise on Geochemistry. 3(2004)593-659
- [11] Raymond L.A., Petrology Mc, "Graw Hill.", (2002)720P.
- [12] COX K.G., "A model for flood basalt volcanism", J.Petrol.21 (1980)629-650
- [13] COX K.G, Bell J.D., Pankhurst R.J., "The interpretation of igneous rocks", George Allen and unwin, London. (1979) 450P.
- [14] Rollinson H.R., "Using Geochemical Data: Evolution, Presentation, and Interpretation" Longman Scientific and Technical, England, (1993) 352p.
- [15] Hopper D.J., Smith I.M., "Petrology of the gabbro and sheeted basaltic intrusives at North Cape,New Zealand", New Zealand Journal of Geology and Geophysics.39(1996)389-402
- [16] Skates D.S., Shervais J.W., Hopson C.A., "The volcanic-tectonic cycle of the FAMOUS and AMAR Valleys, Mid-Atlantic Ridge: Evidence from basalt glass and phenocryst compositional variations for a steady state magma chamber beneath the valley midsections". AMARS.J.Geophys.Res. 89 (1984) 6995-7028